

## بررسی شیمی کانی بیوتیت در گرانیتوئید زرگلی، شمال‌غرب زاهدان

مهدی سروانی‌فیروز<sup>۱\*</sup>، علی کنعانیان<sup>۲</sup>، مهدی رضایی‌کهخایی<sup>۳</sup> و محمدرضا قدسی<sup>۴</sup>

۱- دانشکده زمین‌شناسی، دانشگاه تهران، تهران

۲- دانشکده علوم‌زمین، دانشگاه شاهروود، شاهروود

۳- گروه زمین‌شناسی، دانشگاه سیستان و بلوچستان، زاهدان

\* saravani\_mahdi@yahoo.com

دریافت: ۹۶/۷/۱۵ پذیرش: ۹۶/۱۱/۱۴

### چکیده

گرانیتوئید زرگلی در شمال‌غرب زاهدان و در جنوب شرق ایران واقع شده است. این گرانیتوئید عمدها از گرانودیوریت تشکیل یافته است. شیمی کانی بیوتیت در سنگ‌های گرانودیوریتی با کمک ریزپردازندۀ الکترونی مورد بررسی قرار گرفت و نتایج آن با داده‌های شیمی کانی بیوتیت در گرانیتوئید زاهدان مقایسه گردید. مقدار آلومینیم کل در برابر نسبت  $Fe/(Fe+Mg)$  در بیوتیت‌های گرانودیوریت زرگلی نشان دهنده حضور مواد آلومینومدار پوسته بالایی (رسوبات دگرگون شده) در مagma توسط فرایند هضم می‌باشد. مقادیر  $Al$  کل بیوتیت‌های گرانودیوریت زاهدان نسبت به گرانودیوریت زرگلی کمتر بوده و حاکی از آن است که مagma‌ای سازنده گرانودیوریت زاهدان کمتر به وسیله سنگ‌های پوسته‌ای آلایش یافته است. بررسی شیمی کانی بیوتیت مشخص می‌نماید که گرانودیوریت‌های مورد مطالعه از نوع I بوده و از یک مagma‌ای گرانیتی کالک‌آلکان تشکیل شده‌اند. این magma در یک محیط فرورانش صعود نموده و با سنگ‌های رسوبی پوسته فوقانی آلایش یافته است. مطالعه شیمی بیوتیت یک فوگاسیته اکسیژن نسبتاً بالا ( $10^{-13}$  تا  $10^{-12}$  بار) و یک شرایط اکسیدان را برای magma‌های گرانودیوریتی مورد مطالعه مشخص می‌کند. میزان فوگاسیته اکسیژن در magma‌ای سازنده گرانیت زاهدان  $10^{-14}$  تا  $10^{-15}$  بار به دست می‌آید که در واقع نشان‌دهنده یک شرایط اکسیدان ضعیف در magma‌ای گرانیتی زاهدان می‌باشد.

**واژه‌های کلیدی:** بیوتیت، شیمی کانی، گرانیتوئید زرگلی، زاهدان، سیستان

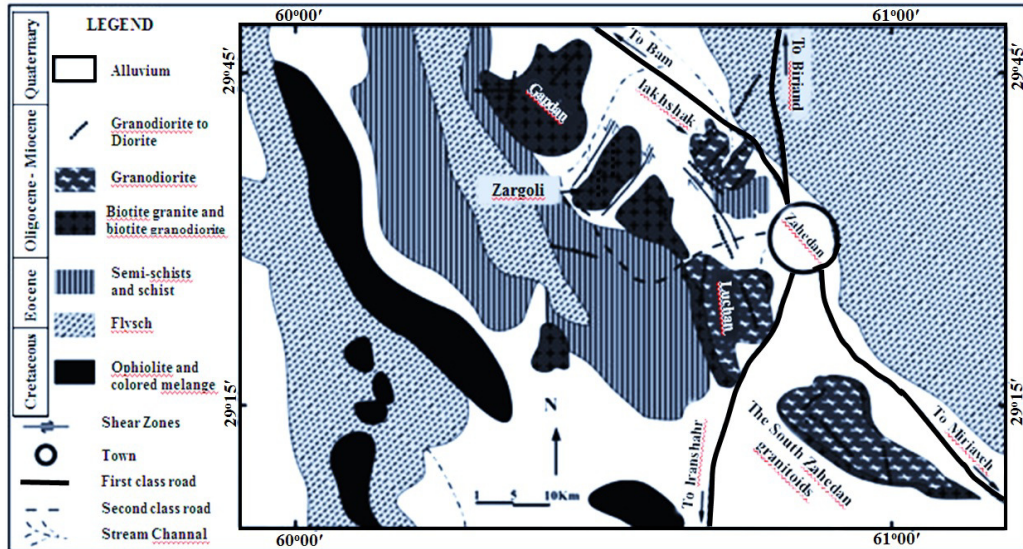
### ۱- مقدمه

گردیده و مساحتی حدود ۹۵ کیلومتر مربع را پوشش می‌دهد. این توده بخشی از نوار گرانیتوئیدی زاهدان-سرavan با روند شمال‌غرب-جنوب‌شرق می‌باشد (شکل ۱). نوار گرانیتوئیدی زاهدان-سرavan دارای طول ۲۵۰ کیلومتر و عرض بین ۲ تا ۲۵ کیلومتر است و از شمال غرب زاهدان تا شهرستان سراوان بروندز دارد. اندازه توده‌های گرانیتوئیدی این نوار از باтолیت تا استوک متغیر بوده و عموماً هاله‌های دگرگونی به خوبی در اطراف آنها توسعه پیدا نکرده‌اند. تمامی این توده‌ها در سنگ‌های رسوبی از جنس سیلتستون و ماسه‌سنگ نفوذ نموده‌اند و باعث دگرگونی درجه ضعیف آنها در حد اسلیت، فیلیت و گاه‌گاه گارنت آمفیبولیت شده‌اند [۳]. تعیین سن رادیومتریک به روش  $K-Ar$  بر روی بیوتیت‌های جدا شده از گرانیت‌های زاهدان توسط [۶] سن  $31/4$  تا  $33/6$  میلیون سال را برای این توده‌ها به دست داده است. هم‌چنین این توده‌ها رسوبات فلیشی (ماسه‌سنگ و شیل) با سن اثوسن را قطع نموده‌اند [۳].

بیوتیت یکی از کانی‌های مهم فرومیزین در سنگ‌های آذرین فلزیک است و در سنگ‌های آذرین مافیک به شکل فاز فرعی ظاهر می‌شود [۴]. مطالعات متعدد نشان داده است که ژئوشیمی بیوتیت می‌تواند اطلاعات خوبی درباره فرآیند ذوب و شرایط ترمودینامیک تبلور مذاب گرانیتی آشکار نماید. ترکیب بیوتیت عمدها وابسته به ماهیت magma‌ای است که از آن متبلور می‌شود و پتانسیل این کانی برای انعکاس ماهیت و شرایط فیزیکوشیمیایی magma‌ بالا است [۱۴]. بررسی ترکیب شیمی کانی بیوتیت برای تعیین پتروژنز و محیط زمین‌ساختی گرانیتوئیدی در ایران موضوعی است که به تازگی در دهه اخیر توجه برخی از پژوهشگران را به خود جلب کرده است و هدف این پژوهش در همین راستاست. گرانیتوئید زرگلی در شمال‌غرب شهرستان زاهدان، بین طول‌های جغرافیایی  $27^{\circ} 35' 60^{\circ}$  تا  $29^{\circ} 40' 32'$  شرقی و عرض‌های جغرافیایی  $32^{\circ} 29' 29^{\circ}$  تا  $36^{\circ} 0' 40'$  شمالی واقع

سنگ‌شناسی این سنگ‌ها از این دیدگاه باشد. همچنین نتایج این پژوهش با مطالعات انجام گرفته بر روی بیوتیت‌های گرانیتوئید زاهدان [۱] نیز مقایسه شده است.

لذا در این بررسی، داده‌های ترکیب شیمیایی کانی بیوتیت در گرانیتوئید زرگلی به منظور آگاهی بیشتر مسائل سنگ‌زایی و تکتونوماگمایی بکار گرفته شد تا مکمل داده‌ها و تعبیر و تفسیرهای ژئوشیمی و



شکل ۱. نقشه زمین‌شناسی ساده شده از توده‌های گرانیتوئیدی زاهدان - سراوان که در آن توده‌های مورد مطالعه و راههای دسترسی به آن‌ها قابل مشاهده است [۱۴].

آمده بررسی گردید. داده‌های حاصل از آنالیز بیوتیت‌های توده نفوذی زرگلی و تعداد کاتیون‌های موجود در فرمول ساختاری آن‌ها بر اساس ۲۴ اتم اکسیژن (با توجه به اندازه‌گیری مقدار هالوژن‌ها) در جدول ۱ گزارش شده است. مقدار آهن کل به صورت آهن دو ظرفیتی در نظر گرفته شده و مقدار  $OH = 4-(F+Cl)$  نیز به صورت  $OH = 4-(F+Cl)$  محاسبه شده است.

## ۲- روش بررسی

در این پژوهش، نخست نمونه‌برداری دقیقی از گرانیتوئید زرگلی صورت گرفت. حدود ۳۰ مقطع نازک از این نمونه‌ها تهیه شدند و با کمک میکروسکوپ پلاریزان مدل Olympus مورد بررسی قرار گرفتند و پس از آشنایی با ویژگی‌های کانی‌شناختی و سنگ‌شناسی، تعداد ۶ مقطع که نمونه‌هایی سالم و فاقد دگرسانی بودند، برای آنالیز نقطه‌ای انتخاب شدند. برای بررسی خصوصیات شیمیایی کانی بیوتیت تعداد ۱۳ نقطه از بیوتیت‌های موجود در سنگ‌های گرانوپیوریتی توده زرگلی و یک نقطه از بیوتیت‌های موجود در برنبومهای همراه توده اصلی در دانشکده علوم زمین دانشگاه اسلامی نروژ توسط دستگاه الکترون مایکروپروپ CAMECA-SX100 تحت ولتاژ شتابدهنده ۱۵ کیلو ولت، شدت جریان ۲۰ نانو آمپر و زمان شمارش ۱۰ ثانیه با دقت ۰/۰۱ درصد وزنی مورد آنالیز قرار گرفت (شکل ۴). بیوتیت‌های موجود در توده گرانیتوئیدی زاهدان نیز با روشی مشابه توسط [۱] آنالیز شده‌اند که در این پژوهش از این داده‌ها جهت مقایسه استفاده شده است. با استفاده از نرم‌افزار Minpet 2.02 فرمول ساختاری کانی بیوتیت محاسبه و نتایج به دست

## ۳- زمین‌شناسی منطقه

منطقه مورد مطالعه بخشی از زون جوش خورده‌ی سیستان در شرق ایران می‌باشد. این زون از شرق با کشورهای پاکستان و افغانستان، از جنوب با زون مکران و از غرب و شمال با زون ایران مرکزی و بلوک لوت هم‌جوار است. به نظر می‌رسد که در اثر جدایش بلوک لوت و افغان از یکدیگر در کرتاسه زیرین، یک حوضه اقیانوسی باریک بین این دو بلوک ایجاد شده که عمر کوتاهی داشته و نهایتاً در اثر فرورانش به طرف شمال‌شرق و برخورد در زمان ائوسن میانی بسته شده است [۱]. زون جوش خورده سیستان حدود ۸۰۰ کیلومتر طول و ۲۰۰ کیلومتر عرض دارد و دارای روندی شمالی-جنوبی است.

سازنده‌شان، عمدتاً در محدوده مونزوگرانیت قرار می‌گیرند. در مواردی دایک‌های فلیسیک دارای مقادیر قابل توجهی تورمالین هستند که بر این اساس می‌توان آن‌ها را تحت عنوان تورمالین گرانیت نامید. توده نفوذی زرگلی مانند دیگر توده‌های گرانیت‌وئیدی زاهدان میزبان برونبوم‌های فراوان است که بر اساس مطالعات صورت گرفته از نوع ماسه‌سنگ دگرگون شده هستند (شکل ۳ ب).

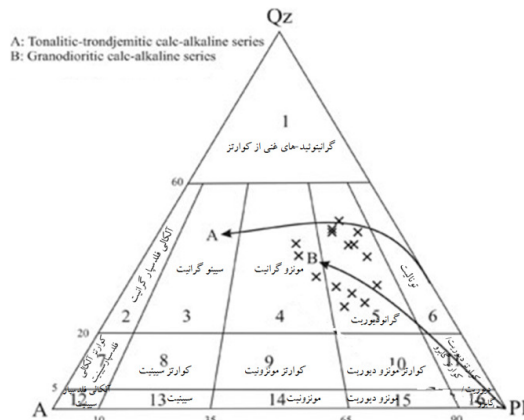
یکی از ویژگی‌های رایج این توده‌های نفوذی حضور تعداد زیادی دایک‌هایی با ترکیب حدواتسط تا اسیدی در آن هاست. این دایک‌ها دارای روند شمالی - جنوبی بوده و احتمالاً آخرین تظاهرات ماقمایی در منطقه مورد مطالعه می‌باشند؛ چرا که علاوه بر نفوذ در رسوبات دگرگون شده، توده‌های نفوذی را نیز قطع می‌کنند.

توده گرانیت‌وئیدی زاهدان نیز از سنگ‌های گرانیتی، گرانوپیوریتی، دیوریتی-کوارتزپیوریتی و برونبوم‌های میکروگرانولار مافیک تشکیل شده که به همراه سنگ‌های میزبان خود توسط تعداد زیادی دایک آندزیتی-داسیتی قطع شده است [۱].

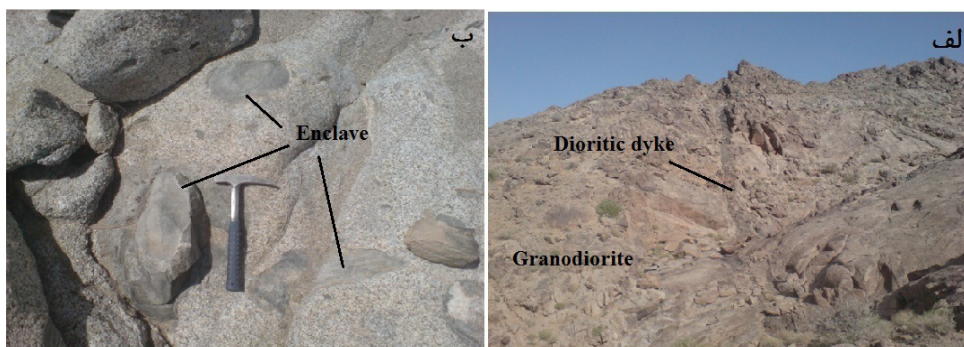
در این زون رسوبات قدیمی‌تر از کرتاسه وجود ندارد و رخساره‌ی کرتاسه فوقانی نیز از نوع رسوبات فلیشی همراه با سنگ‌های آتشفشاری است. به علت حضور گسترده و فراوان سنگ‌های افیولیتی بهم ریخته در این منطقه، این زون تحت عنوان زون آمیزه رنگین نیز معرفی شده است.

#### ۴- پتروگرافی

سنگ‌های توده نفوذی زرگلی در نمودار سه‌تایی کوارتز- پلازیوکلاز - آلکالی فلدسپار [۱۷] عمدتاً در محدوده گرانوپیوریت و تعداد کمی هم در محدوده مونزوگرانیت واقع می‌شوند (شکل ۲). به علت فراوانی بیوتیت در ترکیب این سنگ‌ها می‌توان آن‌ها را به عنوان بیوتیت گرانوپیوریت/گرانیت نام‌گذاری کرد. این توده هم‌چنان دارای دایک‌های مافیک و فلیسیک نیز می‌باشد. دایک‌های مافیک در نمودار سه‌تایی کوارتز-پلازیوکلاز-آلکالی فلدسپار در محدوده دیوریت/اگابرو واقع می‌شوند که با توجه به ترکیب کانی‌شناسی (وفور آمفیبول و نبود پیروکسن) باید آن‌ها را از نوع دیوریتی در نظر بگیریم (شکل ۳ الف). دایک‌های اسیدی نیز با توجه به کانی‌های



شکل ۲. ترکیب مودال گرانیت‌وئیدهای زرگلی در نمودار سه‌تایی کوارتز - پلازیوکلاز - آلکالی فلدسپار [۱۴].



شکل ۳. (الف) حضور دایک دیوریتی در گرانوپیوریت زرگلی. (ب) حضور برونبوم‌های سورمیکاسه در گرانوپیوریت زرگلی

حدود ۳۰ درصد باقیمانده باتولیت را شامل می‌شود از بیوتیت گرانیت‌ها (مونزو-گرانیت-سینوگرانیت) و رگه‌های آپلیتی و پگماتیتی وابسته تشکیل شده است [۱].

دیوریت‌ها کمتر از ۱۰ درصد حجم باتولیت گرانیتوئیدی زاهدان را تشکیل می‌دهند. این سنگ‌ها به صورت استوک یا توده‌های کوچک و غالباً شناور، با ظاهری تیره رنگ در گرانودیوریت‌ها دیده می‌شوند. هورنبلند و بیوتیت در آن‌ها فراوان بوده و پلاژیوکلاز و مقادیر کمی کوارتز کانی‌های روشن این سنگ‌ها هستند. اسفن، آپاتیت، زیرکن، روتیل و مگنتیت کانی‌های فرعی این سنگ‌ها را تشکیل می‌دهند. بیوتیت‌های موجود در آن‌ها بیشتر بر اثر عملکرد متاسوماتیزم پاتاسیک بر هورنبلندها به وجود آمده‌اند (بیوتیت‌زایی). این بیوتیت‌ها به صورت لکه‌های بی‌شکل، تیغه‌ای و ورقه‌ای در درون هورنبلند سبز دیده می‌شوند [۲].

حجم اصلی توده گرانیتوئیدی زاهدان را گرانودیوریت‌ها تشکیل می‌دهند. این سنگ‌ها همراه با دیوریت‌ها هستند، بافت گرانولار دارند و از کانی‌های پلاژیوکلاز، هورنبلند (به مقدار زیاد)، بیوتیت، آکالی فلدرسپار (به صورت فاز تأخیری)، اسفن، آپاتیت، زیرکن و مگنتیت تشکیل شده‌اند. این سنگ‌ها نیز مشابه با گرانودیوریت زرگلی فاقد مسکوویت و کانی‌های دگرگونی نظری گارنت، آندالوزیت و کردیریت هستند. بافت‌های میرمکیتی و پریتی نیز در این سنگ‌ها مشاهده می‌شود [۲].

بیوتیت گرانیت‌ها دارای ارتباطی نزدیک با سنگ‌های دگرگونی میزبان و گرانودیوریت‌ها هستند. این سنگ‌ها تمام بلورین، درشت بلور و حاوی بیوتیت، کوارتز، آکالی فلدرسپار، پلاژیوکلاز و گارنت هستند. کانی‌های آلانیت، ایلمنیت و هورنبلند نیز به میزان کم در این سنگ‌ها حضور دارند. بر اساس شواهد صحرائی، می‌توان گفت که بخشی از بیوتیت گرانیت‌ها حاصل ذوب بخشی فلیش‌های میزبان و بخشی دیگر حاصل اختلاط مذاب ناشی از ذوب بخشی شیسته‌ها با مذاب تفرقی یافته از دیوریت‌ها /گرانودیوریت‌ها هستند [۲].

### شیمی بیوتیت

همان طوری که پیشتر عنوان شد بیوتیت تنها کانی مافیک در گرانودیوریت زرگلی است و همچنین به عنوان یکی از دو کانی مافیک اصلی (بیوتیت و هورنبلند) در

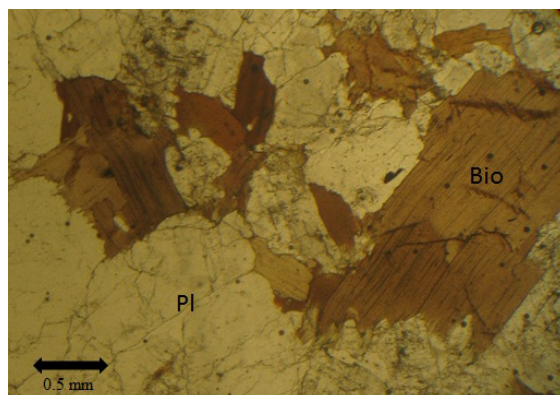
گرانودیوریت زرگلی در نمونه دستی عمدتاً دانه متوسط و مملو از کانی‌های پلاژیوکلاز، کوارتز، ارتوکلاز و بیوتیت می‌باشد. این سنگ‌ها به علت داشتن بیوتیت فراوان (در مواردی بیش از ۱۵ درصد حجم سنگ) از نظر رنگی لوکوکراتی (۱۰ تا ۳۵ درصد کانی تیره) هستند که کمی متمایل به مزوکرات (۳۵ تا ۶۵ درصد کانی تیره) می‌باشد. بافت غالب در این سنگ‌ها از نوع گرانولار است و بافت‌هایی همچون میرمکیتی، پوئی‌کیلیتیک و پریتی نیز مشاهده می‌شود. کانی‌های اصلی در این سنگ‌ها کوارتز، پلاژیوکلاز، بیوتیت و آکالی فلدرسپار هستند و کانی‌های فرعی عمدتاً شامل آپاتیت، زیرکن و کانی‌های اپک می‌باشند که حدود یک درصد از حجم این سنگ‌ها را تشکیل می‌دهند. کانی آپاتیت رایج‌ترین کانی فرعی در این سنگ‌ها می‌باشد که عمدتاً به شکل بلورهای منشوری کوتاه در اندازه‌های ریز به صورت ادخال در کانی‌های کوارتز، پلاژیوکلاز، بیوتیت و ارتوکلاز مشاهده می‌شود. در مواردی، از همرشدی بلورهای پلاژیوکلاز و کوارتز بافت میرمکیتی ایجاد شده، که می‌تواند نشان‌دهنده تبلور سریع و در فشار بخار آب پایین توده گرانیتی در نزدیکی سطح زمین باشد. بیوتیت تنها کانی مافیک در سنگ‌ها گرانودیوریتی زرگلی است و حدود ۱۵ درصد حجم سنگ را تشکیل می‌دهد. به همین دلیل در نام‌گذاری می‌توان آن را به صورت پیشوند به نام این سنگ‌های گرانیتوئیدی افرود. این کانی به صورت شکل‌دار، نیمه شکل‌دار و در اندازه درشت، متوسط و ریز دانه در این سنگ‌ها مشاهده می‌شود. بیوتیت‌های موجود در سنگ‌های حاشیه توده نفوذی زرگلی در اثر تحمل دگرشکلی پلاستیک، دچار اتحنا و خمیدگی شده‌اند (شکل ۴)، در حالی که بیوتیت‌های موجود در مرکز توده کمتر چنین حالتی را نشان می‌دهند. رنگ این بیوتیت‌ها قهوه‌ای بوده و دارای چندرنگی شدید هستند.

گرانیتوئید زاهدان از یک مجموعه حدواسط- اسید با خاستگاه آذرین و یک مجموعه اسیدی پوسته‌ای- اختلاطی تشکیل شده است. مجموعه حدواسط- اسید با ترکیب کلی گرانودیوریتی که حدود ۷۰ درصد حجم باتولیت گرانیتوئیدی زاهدان را تشکیل می‌دهد، دارای طیف ترکیبی دیوریت، کوارتزدیوریت، گرانودیوریت (سازنده اصلی باتولیت زاهدان) و دایک‌های آندزیتی وابسته است. مجموعه اسیدی پوسته‌ای- اختلاطی که

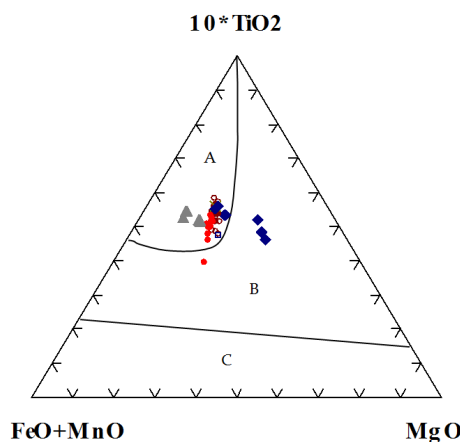
تبلور یافته از مagma) قرار می‌گیرند (شکل ۵). البته سه نمونه از بیوتیت‌های مطالعه شده از دیوریت‌های زاهدان و یک نمونه از بیوتیت‌های گرانودیوریت زرگلی در محدوده آلتره شده قرار گرفته‌اند ولی با توجه به اینکه تمامی بیوتیت‌های مورد مطالعه دارای مقادیر آلومینیم اکتائدری ( $Al^{VI}$ ) کمتر از یک هستند (جدول ۱)، که نشان‌دهنده ماغمایی بودن آن‌ها است [۱۳] می‌توان گفت که تمامی نمونه‌های مطالعه شده از نوع ماغمایی و اولیه هستند.

سنگ‌های گرانیت‌ویدی زاهدان حضور دارد. مطالعه این کانی مهم در این سنگ‌ها می‌تواند اطلاعات تکمیل کننده‌ای در مورد شیمی سنگ کل ارائه کند و مقایسه بیوتیت‌های این دو توده می‌تواند تشابهات و تضادهای آن‌ها را بهتر نمایان سازد.

بیوتیت‌های موجود در توده‌های مورد مطالعه عمدتاً از نوع  $10TiO_2$  ماغمایی و اولیه هستند و در نمودار سه تابی  $[13FeO+MnO - MgO]$  (بیوتیت‌های A



شکل ۴. خمیدگی در بلورهای بیوتیت در اثر تحمل دگرشکلی دما بالا (Pl: پلاژیوکلاز، Bio: بیوتیت).



شکل ۵. بیوتیت‌های بررسی شده از توده‌های نفوذی زاهدان و زرگلی در نمودار سه تابی  $[13TiO_2 - FeO+MnO - MgO]$  محدوده A: بیوتیت‌های اولیه یا تبلور یافته از مagma، محدوده B: بیوتیت‌های آلتره شده و محدوده C: بیوتیت‌های آنالیز شده از گرانودیوریت، گرانیت، دیوریت و برونوبل زاهدان و دایره توپ و ضربدر به ترتیب نشان‌دهنده نمونه‌های آنالیز شده از گرانودیوریت و برونوبل زرگلی می‌باشد.

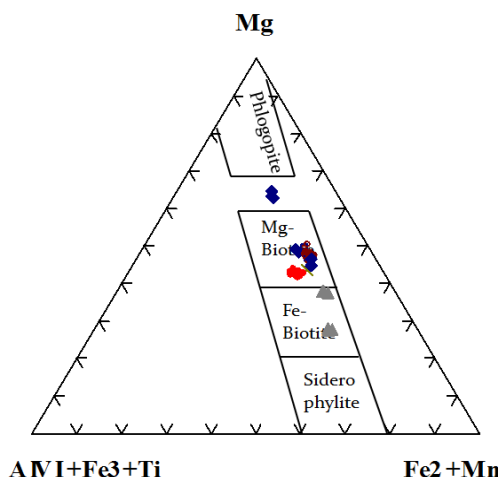
بیوتیت‌های آهن‌دار (*Fe-biotites*) قرار می‌گیرند و به خوبی از سایر نمونه‌ها تفکیک می‌شوند. همچنین سه نمونه از بیوتیت‌های آنالیز شده از دیوریت‌های زاهدان به دلیل داشتن منیزیم بالا فراتر از محدوده بیوتیت‌های منیزیم‌دار قرار گرفته‌اند. مطابق شکل همه‌ی نمونه‌های آنالیز شده از گرانودیوریت‌های زرگلی و زاهدان در

بر اساس نمودار نام‌گذاری [۹]، بیوتیت‌های مورد مطالعه از گرانودیوریت زرگلی بیوتیت‌های منیزیم‌دار ( $Mg-biotites$ ) هستند (شکل ۶). بیوتیت‌های آنالیز شده از گرانودیوریت، دیوریت و برونوبل زاهدان نیز مشابه بیوتیت‌های گرانودیوریت زرگلی از نوع منیزیم‌دار هستند اما بیوتیت‌های مورد مطالعه از گرانیت زاهدان در محدوده

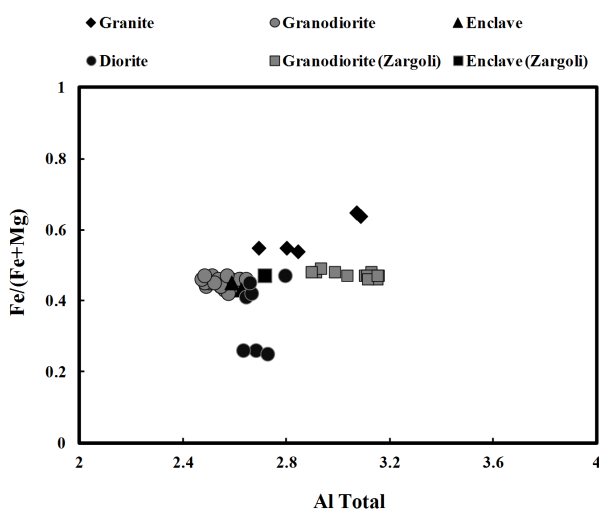
ماگما توسط فرایند هضم می‌باشد؛ که این مطلب توسط حضور برونوبوم‌های سورمیکاشه موجود در سنگ‌های توده تأیید می‌شود. همچنین نسبت‌های  $Fe/(Fe+Mg)$  متوسط و نسبتاً یکنواخت این بیوتیت‌ها می‌تواند نشان دهنده‌ی شرایط اکسیدان ماگما و ماهیت اولیه بیوتیت‌ها باشد [۱۹]. مقدار آلمینیم کل بیوتیت‌های آنالیز شده از گرانودیوریت‌های زاهدان از  $2/4$  تا  $2/6$  در تغییر می‌باشد و نسبت  $Fe/(Fe+Mg)$  در این بیوتیت‌ها مشابه بیوتیت‌ها گرانودیوریت زرگلی متوسط و تقریباً ثابت است ( $0/43$  تا  $0/47$ ). این مقادیر مشخص می‌نماید که ماگمای سازنده گرانودیوریت‌های زاهدان به نسبت ماگمای سازنده گرانودیوریت زرگلی کمتر به وسیله سنگ‌های پوسته آلاش یافته‌اند. نسبت‌های  $Fe/(Fe+Mg)$  متوسط و نسبتاً یکنواخت این بیوتیت‌ها نیز می‌تواند نشان دهنده‌ی شرایط اکسیدان ماگما و ماهیت اولیه بیوتیت‌ها باشد [۱۹].

مقادیر میانگین  $FeO^*$  (total iron)  $FeO^*$  و  $MgO$  برای  $Al_2O_3$  و  $MgO$  بیوتیت‌های آنالیز شده از گرانودیوریت زرگلی به ترتیب  $11/1$  و  $16/1$  درصد وزنی، برای بیوتیت‌های  $17/8$  گرانودیوریت زاهدان به ترتیب  $18/3$ ،  $12/5$  و  $13/6$  و برای بیوتیت‌های دیوریت زاهدان به ترتیب  $17/5$ ،  $12/9$  و  $14/2$  می‌باشد که با میانگین جهانی این اکسیدها برای بیوتیت‌های سری‌های کالک‌آلکالن انطباق دارد [۴]. همچنین میانگین نسبت  $FeO^*/MgO$  برای بیوتیت‌های گرانودیوریت زرگلی  $1/59$ ، برای بیوتیت‌های گرانودیوریت زاهدان  $1/46$  و برای بیوتیت‌های دیوریت زاهدان  $1/35$  به دست آمده که به میانگین جهانی سری کالک‌آلکالن  $1/76$  بسیار نزدیک است. تمامی این بیوتیت‌ها مطابق با تقسیم‌بندی [۴] به خوبی در محدوده کالک‌آلکالن قرار می‌گیرند (شکل ۸). اما مقادیر میانگین  $total FeO^*$  و  $FeO^*/MgO$  برای بیوتیت‌های آنالیز شده از گرانیت زاهدان به ترتیب  $22/6$ ،  $8/5$  و  $2/6$  می‌باشد که برای بیوتیت‌های سری پرآلمین صادق است. مطابق با شکل ۸، از شش نمونه آنالیز شده از این بیوتیت‌ها سه نمونه در محدوده پرآلمین و سه نمونه دیگر در محدوده کالک‌آلکالن و نزدیک به محدوده پرآلمین قرار می‌گیرند.

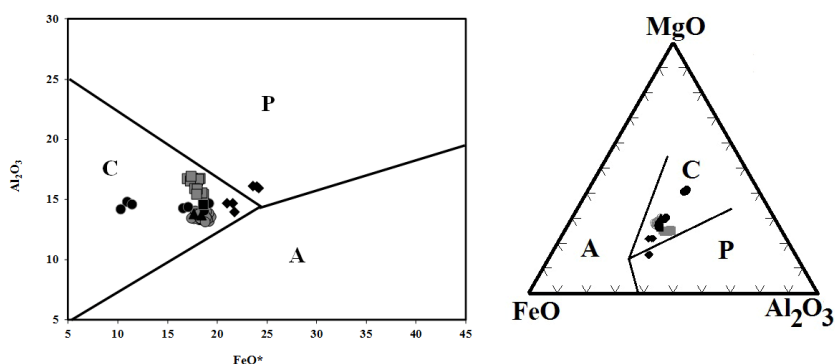
محدوده‌های مشخصی متمرکز شده‌اند که نشان‌دهنده تفریق هر یک از آن‌ها از ماقمه‌ای معین است [۷]. حدود  $70$  تا  $90$  درصد فلوئور موجود در ماقمه‌ای گرانیت‌وئیدی قادر فلوئوریت در بیوتیت و مابقی آن در آپاتیت و اسفن ذخیره می‌گردد. به همین علت مقدار فلوئور موجود در کانی بیوتیت، کلیدی برای رفتار فلوئور در اغلب سنگ‌های آذرین است. به لحاظ تجربی مشخص شده است که جانشینی فلوئور یا کلر در سایت هیدروکسیل میکا توسط اکتیویته فلوئور یا کلر، ترکیب میکا و دما کنترل می‌شود. همچنین بر اساس مطالعات صورت گرفته پیشنهاد شده است که در شرایط مشابه، بیوتیت‌های غنی از منیزیم دارای فلوئور بیشتر و کلر کمتری نسبت به بیوتیت‌های غنی از آهن هستند. چنین ارتباطاتی به عنوان اصل اجتناب آهن-فلوئور و همچنین منیزیم-کلر عنوان می‌شوند [۱۲ و ۱۱]. مقدار فلوئور در بیوتیت‌های آنالیز شده از گرانودیوریت‌های زرگلی و زاهدان به ترتیب صفر تا  $0/46$  و صفر تا  $0/76$  بر حسب درصد وزنی و مقدار کلر آن‌ها از صفر تا  $0/02$  و صفر تا  $0/07$  درصد وزنی تغییر می‌کند که کاملاً با ماهیت غنی از منیزیم این بیوتیت‌ها متناسب می‌باشد. در بیوتیت‌های آنالیز شده از دیوریت‌های زاهدان نیز مقدار فلوئور از  $0/02$  تا  $0/52$  و مقدار کلر از  $0/01$  تا  $0/14$  درصد وزنی در تغییر است که به علت منیزیم بالای آن‌ها است. اما در بیوتیت‌های آهن‌دار گرانیت زاهدان مقدار فلوئور بین  $0/05$  تا  $0/19$  و مقدار کلر بین صفر تا  $0/05$  می‌باشد که با اصل اجتناب آهن-فلوئور در تضاد است و می‌تواند نشان‌دهنده شرایط و نقش عوامل ثانویه همچون سیالات هیدروترمال غنی از فلوئور بر روی این بیوتیت‌ها باشد. در بین دیاگرام‌های ترسیم شده با استفاده از ترکیب شیمیایی بیوتیت، دیاگرام  $Al$  در برابر  $Fe/(Fe+Mg)$  از  $Al$  برخوردار است، زیرا این دو متغیر به ترتیب نشانگرهای وضعیت پرآلمینی و اکسیداسیون سنگ میزبان میکا هستند و می‌توانند شرایط غالب در ماگمای میزبان را نشان دهند [۱۵]. مطابق شکل ۷ مقدار آلمینیم کل بیوتیت‌های موجود در توده نفوذی زرگلی بیشتر از  $2/7$  (۳/۱ تا  $2/7$ ) است و نسبت  $Fe/(Fe+Mg)$  در این بیوتیت‌ها متوسط و تقریباً ثابت است ( $0/46$  تا  $0/49$ ). چنین مقادیری نشان‌دهنده حضور مواد آلمینوس پوسته بالایی (رسوبات دگرگون شده) در



شکل ۶ . موقعیت بیوتیت‌های آنالیز شده در دیاگرام [۹] علائم مشابه شکل ۵ هستند.



شکل ۷ . موقعیت بیوتیت‌های مورد مطالعه در دیاگرام  $Al/Fe/(Fe+Mg)$  در برابر  $Al$  همانطور که مشاهده می‌شود مقادیر آلومینیوم کل گرانودیوریت زرگلی بالاتر از مقادیر آلومینیوم کل گرانودیوریت زاهدان است.



شکل ۸. موقعیت بیوتیت‌های بررسی شده در دیاگرام‌های دو و سه‌تایی [۴] محدوده  $A$  سری‌های آلکالن (اکثراً مرتبط با محیط‌های کششی غیر کوهزا) شامل گرانیت‌های تیپ  $A$ ؛ محدوده  $P$  سنگ‌های پرآلومین شامل گرانیت‌های برخورده و تیپ  $S$ ؛ و محدوده  $C$  سری‌های کالک‌آلکالن (اکثراً مرتبط با محیط‌های فرورانشی کوهزا) شامل گرانیت‌های تیپ  $I$  علائم مشابه شکل ۷ می‌باشد.

باشد. بیوپتیت‌های گرانیت زاهدان بیشترین میزان آهن و کمترین مقدار منیزیم را در بین نمونه‌های آنالیز شده دارا هستند که می‌تواند نشان‌دهنده یک منشأ پوسته‌ای کم عمق برای آن‌ها باشد. بر این اساس به نظر می‌رسد که یک ارتباط معنی‌دار بین میزان آهن و منیزیم بیوپتیت و عمقی که ماقماً سازنده‌اش از آن منشأ می‌گیرد وجود دارد.

### ۵- تعیین گریزندگی اکسیژن

با استفاده از نمودار  $\text{Log}_{\text{O}_2-T}$  و نسبت  $\text{Fe}/(\text{Fe}+\text{Mg})$  در کانی بیوپتیت می‌توان میزان گریزندگی اکسیژن در ماقماً را به صورت کمی تخمین زد [۱۸]. لازم به ذکر است که بر اساس مطالعات صورت گرفته [۱۴ و ۳] فشار تقریبی جایگیری توده نفوذی زرگلی  $1/5$  تا  $2/5$  کیلوبار و دمای آن  $767/4$  تا  $789/3$  تعیین شده است.

نسبت  $\text{Fe}/(\text{Fe}+\text{Mg})$  در بیوپتیت‌های آنالیز شده از گرانودیوریت‌های زرگلی و زاهدان پایین و دارای دامنه تغییرات کم است که این موضوع نشان‌دهنده گریزندگی اکسیژن نسبتاً بالا ماقماً و تغییرات کم آن است. میزان گریزندگی اکسیژن در ماقماهای سازنده این گرانودیوریت‌ها برای یک محدوده دمایی  $700$  تا  $850$  درجه سانتی‌گراد و فشار  $2070$  بار با استفاده از نمودار  $\text{Log}_{\text{O}_2-T}$  و نسبت  $\text{Fe}/(\text{Fe}+\text{Mg})$  کانی بیوپتیت تقریباً  $10^{-12}$  تا  $10^{-13}$  بار به دست می‌آید (شکل ۱۰). بر این اساس مقدار گریزندگی اکسیژن به دست آمده از این روش بین بافرهای گریزندگی اکسیژن نیکل-اکسید نیکل ( $\text{NNO}$ ) و همانیت-مگنتیت ( $\text{HM}$ ) [۲۱] واقع می‌شود که در واقع نشان‌دهنده یک شرایط اکسیدان عادی در ماقما می‌باشد (شکل ۱۱). همچنین میزان گریزندگی اکسیژن در ماقماهای سازنده گرانیت زاهدان برای یک محدوده دمایی  $700$  تا  $850$  درجه سانتی‌گراد و فشار  $2070$  بار با استفاده از نمودار  $\text{Log}_{\text{O}_2-T}$  و نسبت  $\text{Fe}/(\text{Fe}+\text{Mg})$  کانی بیوپتیت تقریباً  $10^{-14}$  تا  $10^{-15}$  بار به دست می‌آید (شکل ۱۰). این مقدار گریزندگی اکسیژن بین بافرهای گریزندگی اکسیژن نیکل-اکسید نیکل ( $\text{NNO}$ ) و کوارتز-فایالیت-مگنتیت ( $\text{QFM}$ ) [۱۵] واقع می‌شود و نشان‌دهنده یک شرایط اکسیدان در ماقما می‌باشد (شکل ۱۱).

یانگ و همکاران [۲۰] بیوپتیت‌هایی از دو سری گرانیت با ژئو متفاوت از جنوب چین را مطالعه کرده و پی برده‌اند که بیوپتیت‌های گرانیت کم‌عمق، بیوپتیت‌هایی غنی از آهن هستند در حالی که بیوپتیت‌های گرانیت عمیق، بیوپتیت‌هایی غنی از منیزیم هستند. هیومین و همکاران [۱۰] نیز عنوان کرده‌اند که بیوپتیت‌های توده نفوذی مورد مطالعه‌شان غنی از منیزیم هستند (مقدادر میانگین  $\text{FeO}$  و  $\text{MgO}$  بیوپتیت‌های این توده به ترتیب  $13/5$  و  $16/5$  درصد است) و بر این اساس یک منشأ عمیق را برای ماقماهای والد توده نفوذی پیشنهاد می‌کنند و عنوان می‌نمایند که مشتق شده از گوشه‌ته فوکانی است [۱۰]. بیوپتیت‌های آنالیز شده از گرانودیوریت‌ها (زرگلی و زاهدان) و دیوریت‌های (زاهدان) نیز غنی از منیزیم هستند (مقدادر میانگین  $\text{FeO}$  و  $\text{MgO}$  این بیوپتیت‌ها به ترتیب  $12$  و  $18$  درصد است). بر این اساس ماقماهای والد سنگ‌های گرانودیوریتی (زرگلی و زاهدان) و دیوریتی (زاهدان) دارای یک منشأ عمیق پوسته‌ی پوسته‌ی گوشه‌ی فوکانی است. همچنین بیوپتیت‌های آنالیز شده از سنگ‌های گرانیتی زاهدان فقیر از منیزیم و غنی از آهن هستند (مقدادر  $\text{FeO}$  و  $\text{MgO}$  در این بیوپتیت‌ها به ترتیب  $8/5$  و  $23$  درصد است) و به عنوان گرانیت‌هایی با منشأ کم عمق پوسته‌ای می‌باشند.

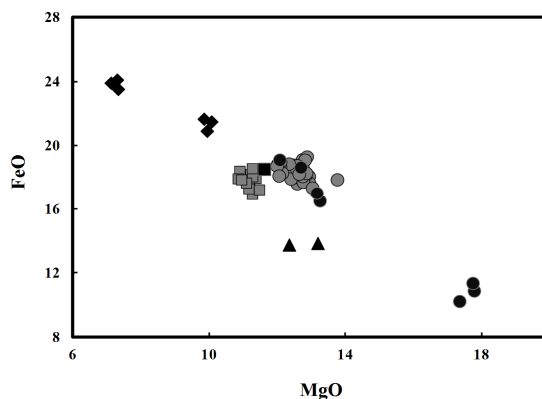
این نتیجه‌گیری توسط داده‌های ژئوشیمی و ایزوتوپی توده گرانیت‌وئیدی زاهدان تأیید می‌شود [۱ و ۲]، به طوری که [۱ و ۲] عنوان داشته‌اند که سنگ‌های گرانیتی زاهدان محصول تبلور مذاب حاصل از ذوب سنگ‌های دگرگونی پوسته‌ای و سنگ‌های گرانودیوریتی زاهدان حاصل تبلور تفریقی ماقماهای از سنگ‌های آذرین پوسته تحتانی یا گوشه‌های فوکانی هستند. در شکل ۹ نیز می‌توان مشاهده نمود که سه نمونه از بیوپتیت‌های آنالیز شده از دیوریت‌های زاهدان بیشترین میزان منیزیم و کمترین مقدار آهن را در بین نمونه‌های آنالیز شده دارا هستند که می‌تواند نشان‌دهنده تبلور آن‌ها از یک ماقماهی گوشه‌ای باشد. نمونه‌های آنالیز شده از هر دو نوع گرانودیوریت (زرگلی و زاهدان) نسبت به بیوپتیت‌های دیوریت‌ها منیزیم کمتر و آهن بیشتری دارند و تقریباً در یک محدوده متراکم شده‌اند که می‌تواند مشخص کننده تبلور آن‌ها از یک ماقما با منشأ عمیق پوسته‌ای، حاصل از ذوب سنگ‌های آذرین در اثر نفوذ ماقماهی گوشه‌ای

ماگمای سازنده‌ی گرانودیوریت‌ها و گرانیت‌های مورد مطالعه تأییدکننده‌ی یک محیط فرورانشی و کوهزایی برای تشکیل آن‌هاست.

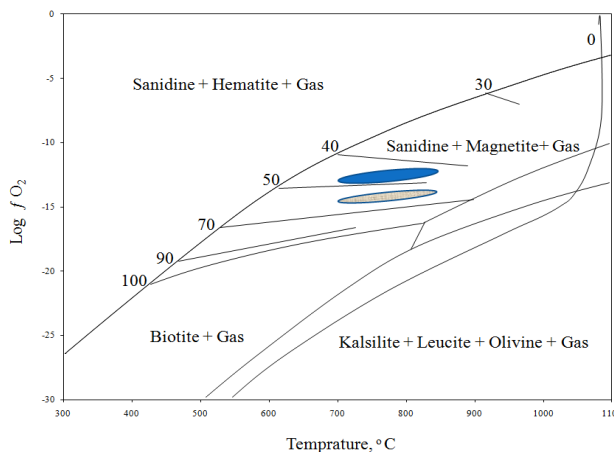
بنابه عقیده [۵] توده‌های نفوذی مرتبط با کمان‌های آتشفشاری نسبت به توده‌های غیر کوهزایی در گریزندگی اکسیژن بالاتری متبلور می‌شوند و دارای مگنتیت بیشتری هستند. بنابراین گریزندگی اکسیژن بالا در

جدول ۱. نتایج آنالیز ریزپردازشی بیوتیت‌های موجود در گرانودیوریت زرگلی

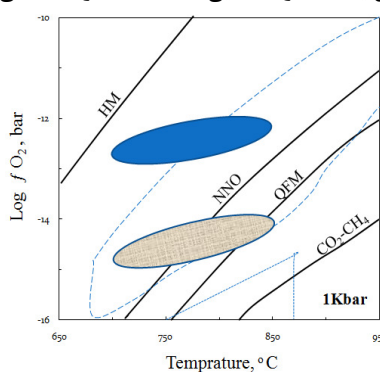
Sample	gr1					gr2					gr3					Enc
	core	rim	core	core	rim											
Location	core	rim	core	core	rim	core										
<i>SiO<sub>2</sub></i>	۳۶/۳	۳۶/۴۴	۳۶/۴۵	۳۶/۲	۳۶/۲۲	۳۶/۶	۳۶/۰۴	۳۶/۶	۳۶/۵	۳۶/۸	۳۶/۶	۳۷	۳۷/۴	۳۷/۲	۳۷/۲	
<i>TiO<sub>2</sub></i>	۳/۰۲	۲/۴۶	۲/۶۶	۲/۸۵	۲/۹۴	۲/۸۵	۳	۳/۱۴	۲/۹۴	۳	۱/۸۵	۲/۸۶	۳/۲۵	۳/۸۶	۳/۸۶	
<i>Al<sub>2</sub>O<sub>3</sub></i>	۱۶/۶	۱۶/۶۱	۱۶/۷۸	۱۶/۷۹	۱۶/۷۶	۱۶/۷۲	۱۶/۵۷	۱۶/۹۵	۱۵/۴۴	۱۵/۵۹	۱۵/۹۵	۱۵/۹	۱۵/۵	۱۴/۶	۱۴/۶	
<i>Cr<sub>2</sub>O<sub>3</sub></i>	۰/۰۹	۰/۰۵	۰/۱۱	۰/۰۶	۰/۱۱	۰/۰۶	۰/۰۶	۰/۰۳	۰/۰۰۷	۰/۰۳	۰/۰۹	۰	۰/۰۶	۰/۱۷	۰/۱۷	
<i>FeO</i>	۱۷/۸۶	۱۷/۹۶	۱۸/۲۲	۱۷/۴۷	۱۶/۹۳	۱۶/۰۶	۱۷/۲۴	۱۷/۳۱	۱۸/۵۷	۱۸/۴۱	۱۷/۶۷	۱۷/۹۳	۱۷/۸۷	۱۸/۵۳	۱۸/۵۳	
<i>MnO</i>	۰/۳۶	۰/۳۲	۰/۳۷	۰/۳۳	۰/۳۴	۰/۳۴	۰/۳۶	۰/۳۶	۰/۳۸	۰/۳۳	۰/۳۹	۰/۴	۰/۳۴	۰/۳۸	۰/۳۸	
<i>MgO</i>	۱۱/۱۷	۱۱/۳۶	۱۱/۲۱	۱۱/۱۶	۱۱/۱۶	۱۱/۱۶	۱۱/۴۶	۱۱/۱۵	۱۱/۲۵	۱۰/۸۹	۱۱/۰۸	۱۰/۸۴	۱۰/۹۴	۱۱/۶۱	۱۱/۶۱	
<i>CaO</i>	۰	۰	۰/۰۵	۰/۰۲	۰/۰۲	۰/۰۵	۰	۰/۰۲	۰/۰۱	۰	۰/۱	۰	۰/۰۱	۰	۰/۰۱	
<i>Na<sub>2</sub>O</i>	۰/۱۴	۰/۱۴	۰/۱	۰/۱۲	۰/۱۲	۰/۱	۰/۱۴	۰/۱۴	۰/۰۱	۰/۰۲	۰/۰۳	۰/۰۳	۰/۰۵	۰/۰۹	۰/۰۹	
<i>K<sub>2</sub>O</i>	۹/۸۵	۹/۷۵	۹/۷۳	۹/۴۲	۹/۶	۹/۷۳	۹/۶۷	۹/۹۱	۹/۸	۹/۸۳	۹/۹	۹/۸۷	۹/۵	۹/۸۳	۹/۸۳	
<i>F</i>	۰	۰	۰	۰/۰۸	۰/۴۶	۰	۰/۳۶	۰/۲۱	۰/۳	۰/۲۹	۰/۳۱	۰/۱۷	۰/۴	۰	۰	
<i>Cl</i>	۰	۰	۰	۰/۰۲	۰/۰۱	۰	۰/۰۱	۰/۰۱	۰	۰	۰	۰/۰۱	۰/۰۲	۰	۰	
<i>O_F_Cl</i>	۰	۰	۰	۰/۰۴	۰/۲	۰	۰/۱۵	۰/۰۹	۰/۱۳	۰/۱۲	۰/۱۳	۰/۰۸	۰/۱۷	۰	۰	
Total	95/3	95/09	95/6	94/5	94/7	95/7	94/9	95/8	95/2	95/1	93/9	94/9	95/2	96/2		
Number of cationes based on 24 (O, OH, F)																
<i>Si</i>	۵/۷۶	۵/۸	۵/۷۷	۵/۷۸	۵/۷۸	۵/۷۷	۵/۷۵	۵/۷۷	۵/۸۴	۵/۸۸	۵/۹۱	۵/۹	۵/۹۴	۵/۸۷	۵/۸۷	
<i>Al<sup>IV</sup></i>	۲/۲۴	۲/۲	۲/۲۳	۲/۲۲	۲/۲۲	۲/۲۲	۲/۲۵	۲/۲۳	۲/۱۶	۲/۱۲	۲/۰۹	۲/۱	۲/۰۶	۲/۱۳	۲/۱۳	
<i>Al<sup>VI</sup></i>	۰/۱۶	۰/۹۱	۰/۹	۰/۹۳	۰/۹۳	۰/۸۹	۰/۸۷	۰/۹۲	۰/۷۶	۰/۸۲	۰/۹۵	۰/۸۷	۰/۸۳	۰/۵۸	۰/۵۸	
<i>Ti</i>	۰/۳۶	۰/۳	۰/۳۲	۰/۳۴	۰/۳۵	۰/۳۴	۰/۳۶	۰/۳۷	۰/۳۵	۰/۳۶	۰/۲۲	۰/۳۴	۰/۳۹	۰/۴۶	۰/۴۶	
<i>Fe<sup>2+</sup></i>	۲/۳۷	۲/۳۹	۲/۴۱	۲/۳۳	۲/۲۶	۲/۳۹	۲/۳	۲/۲۹	۲/۴۹	۲/۴۶	۲/۳۹	۲/۳۹	۲/۳۷	۲/۴۵	۲/۴۵	
<i>Cr</i>	۰/۰۱	۰/۰۱	۰/۰۱	۰/۰۱	۰/۰۱	۰/۰۱	۰/۰۱	۰/۰۱	۰	۰/۰۱	۰	۰/۰۱	۰/۰۲	۰/۰۲	۰/۰۲	
<i>Mn</i>	۰/۰۵	۰/۰۴	۰/۰۵	۰/۰۴	۰/۰۴	۰/۰۴	۰/۰۵	۰/۰۵	۰/۰۵	۰/۰۴	۰/۰۵	۰/۰۵	۰/۰۵	۰/۰۵	۰/۰۵	
<i>Mg</i>	۲/۶۴	۲/۶۹	۲/۶۴	۲/۶۵	۲/۶۸	۲/۶۵	۲/۷۲	۲/۶۲	۲/۶۹	۲/۵۹	۲/۶۷	۲/۵۸	۲/۵۹	۲/۷۳	۲/۷۳	
<i>Ca</i>	۰	۰	۰/۰۱	۰	۰/۰۱	۰	۰/۰۱	۰	۰/۰۱	۰	۰/۰۲	۰	۰/۰۲	۰	۰	
<i>Na</i>	۰/۰۴	۰/۰۴	۰/۰۳	۰/۰۴	۰/۰۴	۰/۰۳	۰/۰۴	۰/۰۴	۰/۰۴	۰	۰/۰۱	۰/۰۱	۰/۰۱	۰/۰۲	۰/۰۲	
<i>K</i>	۱/۹۹	۱/۹۸	۱/۹۶	۱/۹۲	۱/۹۵	۱/۹۶	۱/۹۷	۱/۹۹	۲	۲	۲/۰۴	۲/۰۱	۱/۹۲	۱/۹۸	۱/۹۸	
<i>Fe#</i>	۰/۴۷	۰/۴۷	۰/۴۸	۰/۴۷	۰/۴۶	۰/۴۷	۰/۴۶	۰/۴۷	۰/۴۸	۰/۴۹	۰/۴۷	۰/۴۸	۰/۴۸	۰/۴۷	۰/۴۷	
<i>Mg#</i>	۰/۵۳	۰/۵۳	۰/۵۲	۰/۵۳	۰/۵۴	۰/۵۳	۰/۵۴	۰/۵۳	۰/۵۲	۰/۵۱	۰/۵۳	۰/۵۲	۰/۵۲	۰/۵۳	۰/۵۳	
<i>F</i>	۰	۰	۰	۰/۰۴	۰/۲۳	۰	۰/۱۸	۰/۱۱	۰/۱۵	۰/۱۴	۰/۱۶	۰/۰۷	۰/۱۱	۰	۰	
<i>Cl</i>	۰	۰	۰	۰/۰۱	۰/۰۱	۰	۰/۰۱	۰	۰/۰۱	۰	۰	۰/۰۱	۰/۰۱	۰	۰	
<i>OH</i>	۴	۴	۴	۳/۹۵	۳/۷۶	۴	۳/۸۲	۳/۸۹	۳/۸۵	۳/۸۶	۳/۸۴	۳/۹۱	۳/۷۹	۴	۴	



شکل ۹. موقعیت بیوتیت‌های بررسی شده در مقایسه با یکدیگر در دیاگرام  $MgO$  در برابر  $FeO$  علائم مشابه شکل ۷ هستند.



شکل ۱۰. نمودار  $\text{Log}f\text{O}_2\text{-}T$  برای موازنی بیوتیت + سانیدین + مگنتیت + گاز در فشار کل ۲۰۷۰ بار [۱۸] خطوط عددگذاری شده معرف مقادیر  $Fe/(Fe+Mg)*100$  برای بیوتیت‌های همزاد با سانیدین و مگنتیت هستند. منحنی نشان دهنده حداقل پایداری فلوگوبیت و منحنی ۱۰۰ نشان دهنده محدوده پایداری آئیت می‌باشد. محدوده مشخص شده تیره‌رنگ نشان دهنده گربنندگی اکسیژن برای نمونه‌های آنالیز شده از گرانوپوریت‌ها (زرگلی و زاهدان) و دبوریت‌های زاهدان و محدوده رنگ روشن نشان دهنده فوگاسیته اکسیژن برای نمونه‌های آنالیز شده از گرانیت زاهدان با فرض یک محدوده دمایی ۷۰۰ تا ۸۵۰ درجه سانتی‌گراد است.



شکل ۱۱. نمودار گربنندگی اکسیژن در برابر دما [۲۱] برای بیوتیت‌های توده نفوذی زرگلی. منحنی‌ها شرایط  $f\text{O}_2\text{-}T$  را برای بافرهای اکسید-احیاء **HM** (هماتیت-مگنتیت)، **NNO** (نیکل-اکسید نیکل)، **QFM** (کوارتز-فایالیت-مگنتیت) و  $CO_2\text{-}CH_4$  نشان می‌دهند. محدوده مشخص شده به وسیله خطچین درشت نشان دهنده سنگ‌های نوع I آلوده شده به طور ضعیف، متوسط و شدید و محدوده مشخص شده به وسیله خطچین ریز نشان دهنده سنگ‌های نوع I احیایی شدیداً آلاش یافته می‌باشد. محدوده بیضوی شکل تیره‌رنگ نشان دهنده موقعیت گرانوپوریت‌ها (زرگلی و زاهدان) و دبوریت‌های زاهدان و محدوده رنگ روشن نشان دهنده موقعیت گرانیت زاهدان است.

- [۲] قاسمی، ح. ا.، صادقیان، م.، کرد، م.، خانعلی‌زاده، ع (۱۳۸۸) سازوکار شکل‌گیری با تولیت گرانیتوئیدی زاهدان، جنوب‌شرق ایران، مجله بلورشناسی و کانی‌شناسی ایران، شماره ۵۷۸-۵۵۱، ۴.
- [۳] کشتگر، ش (۱۳۸۳) پترولوزی، ژئوشیمی و تحلیل ساختاری گرانیت‌های زرگلی (شمال‌غرب زاهدان)، پایان‌نامه کارشناسی‌ارشد، دانشگاه تهران، ۱۶۱ ص.
- [۴] Abdel-Rahman A. M (1994) Nature of biotites for alkaline, calc-alkaline and peraluminous magmas, *Journal of Petrology* 35, 525-541.
- [۵] Anderson J. L., Smith D. R (1995) The effects of temperature and  $fO_2$  on the Al-in-hornblende barometer, *American Mineralogist* 80, 549-559.
- [۶] Camp V. E., Griffis, R. J (1982) Character, genesis and tectonic setting of igneous rocks in the Sistan Suture Zone, eastern Iran, *Lithos* 15, 221-239.
- [۷] De Pieri R., JobstraibizerPadova (1983) Crystal chemistry of biotites from dioritic to granodioritic rock-types of Adamello Massif (Northern Italy), *Neues Jahrbuch Miner. Abh.* 148, 58-82.
- [۸] Esmaeily D., Maghdour-Mashhour R (2009) Geochemistry of biotites from Boroujerdgranitoid complex, SSZ, Iran: A crucial factor for illustration petrogenesis and tectonomagmatic environment of host rock?, *Geophysical Research Abstracts*, vol.11. EGU 7980.
- [۹] Foster M.D (1960) Interpretation of the composition of trioctahedral micas, United states Geological Survey Professional Paper 354-B 11-46
- [۱۰] Huaimin X., Shuwen D., Ping J (2006) Mineral chemistry, geochemistry and U-Pb SHRIMP zircon data of the Yangxinmonzonitic intrusive in the foreland of the Dabieorogen”, *Science in China: Series D Earth Sciences* 49, 684-695.
- [۱۱] Middelaar, W. T., Keith, J. D (1990) Mica chemistry as an indicator of oxygen and halogen fugacities in the CanTung and other W-related granitoids in the North American Cordillera, *Geological Society of America, Special Paper*, 246, 205-220.
- [۱۲] Monuz J.L (1984)  $F-OH$  and  $Cl-OH$  exchange in mica with application to hydrothermal ore deposits, *Reviews in Mineralogy* 13 469-493.
- [۱۳] Nachit H., Lbhi A., Abia E.H., Ohoud M.B (2005) Discrimination between primary magmatic biotites, reequilibratedbiotites and magmatic biotites and neoformedbiotites, *Geomaterials (Mineralogy)*, *Geoscience* 337 1415-1420.

## ۶- نتیجه‌گیری

بیوپیت به عنوان تنها فاز کانیایی مافیک اصلی در سنگ‌های گرانودیوریتی زرگلی و به عنوان یکی از دو کانی مافیک اصلی (بیوپیت و هورنبلند) در سنگ‌های گرانیتوئیدی زاهدان حضور دارد. مقدار آلومینیم کل در برابر نسبت  $Fe/(Fe+Mg)$  در بیوپیت‌های گرانودیوریت زرگلی نشان‌دهنده حضور مواد آلومینوس پوسته بالای (رسوبات دگرگون شده) در ماقما توسط فرایند هضم می‌باشد. این فاکتور در بیوپیت‌های گرانودیوریت زاهدان مشخص کننده آلایش کمتر ماقمای سازنده این گرانودیوریت‌ها به نسبت ماقمای سازنده گرانودیوریت زرگلی به وسیله سنگ‌های پوسته است. بررسی شیمی کانی بیوپیت مشخص کرد که گرانودیوریت‌های مورد مطالعه از نوع I بوده و از یک ماقمای گرانیتی کالک آلکالن تشکیل شده‌اند. این ماقما در یک محیط فرورانشی صعود نموده و با سنگ‌های رسوبی پوسته فوقانی آلایش یافته است. بر اساس این شواهد مشخص می‌گردد که ماقمای سازنده گرانودیوریت‌های زرگلی و زاهدان ارتباط بسیار نزدیکی داشته و در واقع ماقمای سازنده گرانودیوریت‌های زرگلی یک نمونه آلایش یافته‌تر از ماقمای سازنده گرانودیوریت‌های زاهدان است. همچنین بر اساس شیمی کانی بیوپیت، گرانیت زاهدان از یک ماقمای پرآلومین تشکیل شده است. میزان منیزیم و آهن در بیوپیت‌های آنالیز شده از دیوریت‌ها به ترتیب بیشترین و کمترین مقدار در بین نمونه‌های آنالیز شده می‌باشد که به علت تبلور آن‌ها از یک ماقمای گوشه‌ای است. نمونه‌های آنالیز شده از هر دو نوع گرانودیوریت نسبت به بیوپیت‌های دیوریت‌ها منیزیم کمتر و آهن بیشتری دارند که می‌تواند مشخص کننده تبلور آن‌ها از یک ماقما با منشأ عمیق پوسته‌ایی، حاصل از ذوب سنگ‌های آذرین در اثر نفوذ ماقمای گوشه‌ای باشد. همچنین بیوپیت‌های گرانیت زاهدان بیشترین میزان آهن و کمترین مقدار منیزیم را در بین نمونه‌های آنالیز شده دارا هستند که می‌تواند نشان‌دهنده یک منشأ پوسته‌ای کم عمق برای آن‌ها باشد.

## منابع

- [۱] صادقیان، م (۱۳۸۳) ماقماتیسم، متالوژنی و مکانیسم جایگزینی توده گرانیتوئیدی زاهدان، رساله دکتری، دانشگاه تهران، دانشکده علوم، ۴۵۰ ص.

- [14] Rezaei-Kahkhaei M., Kananian A., Esmaeily D., Asiabhanha A (2010) *Geochemistry of the Zargoli granite: Implications for development of the Sistan Suture Zone, southeastern Iran, Island Arc* 19, 259-276.
- [15] Shabani A.T., Lalonde A.E., Whalen J.B (2003) *Composition of biotite from granitic rocks of the Canadian Appalachian orogen: A potential tectonomagmatic indicator? The Canadian Mineralogist* 41, 1381-1396.
- [16] Spear J.A (1984) *Micas in igneous rocks, In: Micas*, Bailey S.W., (ed); *Mineralogical Society of America Review in Mineralogy*, 13 299-356.
- [17] Streckeisen A (1976) *To each plutonic rock its proper name, Earth Sci. Rev.* 12, 1-33.
- [18] Wones D. R., Eugster H. P (1965) *Stability of biotite: experiment, theory, and application, The American Mineralogist* 50, 1228-1272.
- [19] Xianwu B., Ruizhong H., Hanley J.J., Mungall J.E., Jiantang P., Linbo S., Kaixing W., Yan S., Hongli L., Xiaoyan H (2009) *Crystallisation condition ( $T$ ,  $P$ ,  $fO_2$ ) from mineral chemistry of Cu- and Au-mineralised alkaline intrusions in the Red River-Jinshajiang alkaline igneous belt, western Yunnan Province, china, Miner. Petrol.*, 96, 43-58.
- [20] Yang W J., Wang L K., Zhang S L., et al (1986) *Micas of the two series of granites in south China, Acta Mineral Sin (in Chinese)*, 6(4): 298-307.
- [21] Yang X. M., Lentz D. R (2005) *Chemical composition of rock-forming minerals in gold-related granitoid intrusions, southwestern New Brunswick, Canada: implications for crystallization conditions, volatile exsolution, and fluorine-chlorine activity, Contrib. Mineral. Petrol.*, 150, 287-305.

***Study of mineral chemistry of biotite in Zargoli granitoid, Northwest of Zahedan******M. Saravani-Firouz<sup>\*1</sup>, A. Kananian<sup>2</sup>, M. Rezaei-Kakhkhaei<sup>3</sup> and M. R. Ghodsi<sup>4</sup>***

1, 2- Faculty of Geology, University of Tehran, Tehran  
 3- Faculty of Earth Sciences, University of Shahrood, Shahrood  
 4- Dept., of Geology, University of Sistan and Baluchestan

*\*saravani\_mahdi@yahoo.com*

*Recieved: 2017/4/3 Accepted: 2017/10/7*

***Abstract***

Zargoli granitoids located in the northwest of Zahedan and south-east of Iran. This granitoid is composed mainly of granodiorite. Mineral chemistry of biotite was studied in granodiorite rocks with the aid of EPMA and the results of this study were compared with the mineral chemistry data of biotite in Zahedan granitoids. Total amount of aluminum in comparison to  $Fe / (Fe + Mg)$  ratio in biotites of Zargoli granodiorite indicates the presence of aluminous upper crust materials (metamorphosed sediments) in magma by digestion process. Total Al amounts of biotites of Zahedan granodiorite were lower than those of Zargoli granodiorite and it is indicative that the magma of Zahedan granodiorite is less contaminated by crustal rocks. The study of mineral chemistry of biotite determines that the studied granodiorites were I-type and composed of a calc-alkaline granitic magma. This magma climbed in a subduction environment and contaminated with sedimentary rocks of the upper crust. The chemistry study of biotite determines a relatively high oxygen fugacity ( $10^{-12}$  to  $10^{-13}$  bar) and an oxidant conditions for granodioritic magmas studied. The amount of oxygen fugacity in the Zahedan granite magma is obtained from  $10^{-14}$  to  $10^{-15}$  bar which in fact represents a weak oxidizing condition in the Zahedan granite magma.

***Keywords:*** Biotite, Mineral chemistry, Zargoli Granitoid, Zahedan, Sistan